

УДК 539.3:534.1

УСТОЙЧИВОСТЬ КРИВОЛИНЕЙНОГО ТРУБОПРОВОДА
ПРИ ДЕТЕРМИНИСТИЧЕСКОМ И СЛУЧАЙНОМ ВОЗДЕЙСТВИЯХ

БАБИН О. А., БЕККЕР О., СМИРНОВ А. И.

Систематическое изложение теории параметрических систем дано в [1]. Различные аспекты поведения трубопроводов с жидкостью исследованы в [2–7]. Несмотря на значительное количество публикаций, большинство из которых затрагивает вопросы динамики прямолинейных участков трубопроводов при детерминистических воздействиях, некоторые количественные и качественные стороны явления нуждаются в дальнейшем изучении.

В публикуемой работе на примере криволинейного участка трубопровода, несущего пульсирующую жидкость, исследуются некоторые вопросы устойчивости при периодическом и случайном изменении скорости потока жидкости. Анализ поведения системы проводится численными методами [8, 9]. В пространстве параметров системы построены области устойчивости, показана возможность стабилизации динамически неустойчивой системы.

1. Рассмотрим участок криволинейного трубопровода, нейтральная ось которого является дугой окружности радиуса R . Предположим, что трубопровод имеет постоянное по длине l сечение с изгибной жесткостью EI , центральную массу m , площадь проходного сечения F , центральный угол φ . Пусть размеры трубопровода таковы, что оболочечными формами колебаний можно пренебречь по сравнению с балочными. Процесс колебаний в этом случае распадается на два независимых колебания в плоскости изгиба и из плоскости.

Жидкость считаем несжимаемой, поток одномерным. Закон изменения скорости и давления берем в виде

$$V(s, t) = v_0[1 + \mu\Phi(t)] \quad (1.1)$$

$$p(s, t) = p_0 + \frac{m_0}{F} \left(\mu v_0 \frac{d\Phi(t)}{dt} + \frac{\lambda}{r} V^2 \right) (l-s)$$

где v_0 — средняя по течению скорость, $\Phi(t)$ — произвольная функция времени, p_0 — давление в сечении истечения жидкости из трубопровода, m_0 — масса жидкости на единицу длины, λ — коэффициент сопротивления трению, r — гидравлический радиус, μ — параметр возбуждения, s — координата, отсчитываемая вдоль оси трубопровода.

Пренебрегая деформациями растяжения оси трубопровода и его закручиванием, запишем вариационное уравнение принципа Даламбера — Лагранжа:

$$-\int EI \left[\left(\psi_2 + \varepsilon_2 \frac{\partial \psi_2}{\partial t} \right) \delta \psi_2 + \left(\psi_3 + \varepsilon_2 \frac{\partial \psi_3}{\partial t} \right) \delta \psi_3 \right] ds +$$

$$+ \sum_{j=1}^s \int_0^l \left[p_j - (m+m_0) \frac{\partial^2 u_j}{\partial t^2} \right] \delta u_j ds = 0 \quad (1.2)$$

Здесь $u_j(s, t)$ — смещения по касательной к оси, по направлениям главной нормали и бинормали соответственно, $\psi_j(s, t)$ — приращения кривизн, ε_2 — коэффициент внутреннего трения. Остальные обозначения имеют следующий смысл:

$$\begin{aligned} p_1(s, t) &= -\varepsilon_1 \frac{\partial u_1}{\partial t} + \frac{m_0 \lambda}{r} V^2 \\ p_2(s, t) &= -\varepsilon_1 \frac{\partial u_2}{\partial t} - 2m_0 V \frac{\partial \alpha_3}{\partial t} - (pF + m_0 V^2) \left(\frac{1}{R} + \psi_3 \right) \\ p_3(s, t) &= -\varepsilon_1 \frac{\partial u_3}{\partial t} + 2m_0 V \frac{\partial \alpha_2}{\partial t} + (pF + m_0 V^2) \psi_2 \end{aligned} \quad (1.3)$$

При этом ε_1 — коэффициент внешнего трения

$$\begin{aligned} \psi_1 &= \partial \alpha_1 / \partial s + \partial u_3 / R \partial s = 0, \quad \psi_2 = \partial \alpha_2 / \partial s + \alpha_1 / R, \quad \psi_3 = \partial \alpha_3 / \partial s \\ \alpha_2 &= -\partial u_3 / \partial s, \quad \alpha_3 = \partial u_3 / \partial s + u_1 / R, \quad \partial u_1 / \partial s - u_2 / R = 0 \end{aligned} \quad (1.4)$$

Введем безразмерные величины $\xi = s/l$, $\tau = kt$, $v = v_0 l [m_0/(EI)]^{1/2}$, $\beta = (1+m/m_0)^{-1/2}$, $v = \theta/\omega_0$, $p_* = p_0 F l^2/(EI)$, $\xi = \lambda l/r$, $\eta = k \varepsilon_2$, $\gamma = \varepsilon_1 k^{-1} (m+m_0)^{-1}$, где θ — частота пульсации скорости потока жидкости, ω_0 — основная собственная частота колебаний прямолинейного трубопровода без жидкости $k = [EI/(m+m_0)]^{1/2} l^{-2}$.

С учетом (1.3), (1.4) и безразмерных параметров вместо уравнения (1.2) получим

$$\int_0^1 \{ [y_2'' + \varphi y_4' + \eta (y_2''' + \varphi y_4')] (\delta y_2'' + \varphi \delta y_4) - p_1^0 \delta y_4 - p_2 \delta y_2 \} d\xi = 0 \quad (1.5)$$

$$\int_0^1 \{ [y_3'' - \varphi y_4 + \eta (y_3''' - \varphi y_4)] (\delta y_3'' - \varphi \delta y_4) - p_3^0 \delta y_3 \} d\xi = 0 \quad (1.6)$$

$$\begin{aligned} p_1^0 &= -y_1'' - \gamma y_1' + \xi v^2 [1 + \mu \Phi(\tau)]^2 \\ p_2^0 &= -y_2'' - \gamma y_2' - 2v\beta [1 + \mu \Phi(\tau)] (y_2''' + \varphi y_4') - (p_* + v_2 [1 + (1-\xi)\xi] [1 + \mu \Phi(\tau)]^2 + (1-\xi)v\beta\mu\Phi'(\tau)) (\varphi + y_2'' + \varphi y_4') \\ p_3^0 &= -y_3'' - \gamma y_3' - 2v\beta [1 + \mu \Phi(\tau)] y_3''' - \{ p_* + [1 + (1-\xi)\xi] v^2 [1 + \mu \Phi(\tau)]^2 + (1-\xi)v\beta\mu\Phi'(\tau) \} (y_3'' - \varphi y_4) \\ y_1' - \varphi y_2 &= 0, \quad y_4' + \varphi y_3 = 0, \quad y_j = u_j / l, \quad y_4 = \alpha_j \quad (j=1, 2, 3) \end{aligned}$$

Здесь и далее штрихом обозначено дифференцирование по координате, точкой — по времени. Уравнение (1.5) описывает колебания трубопровода в плоскости, а уравнение (1.6) — из плоскости.

2. Представим смещение и угол закручивания трубопровода в виде ряда

$$y_j(\xi, \tau) = \sum_{k=1}^n f_{jk}(\xi) q_k(\tau) \quad (j=1, 2, 3, 4) \quad (2.1)$$

$$f_{ij}(\xi) = \varphi \left[\int f_{2j}(\xi) d\xi + A_i \right], \quad f_{4j}(\xi) = -\varphi [f_{3j}(\xi) + B_j]$$

где $q_k(\tau)$ — неизвестные обобщенные координаты, $f_{jk}(\xi)$ — элементы системы базисных функций, которые описывают смещение по касательной, изгиб в плоскости и из плоскости и угол закручивания трубопровода соответственно. Функции f_{2j} , f_{3j} и постоянные A_j , B_j определяются из граничных условий.

Подставляя (2.1) в (1.5) и (1.6), приходим к системам обыкновенных дифференциальных уравнений относительно обобщенных координат

$$A\dot{\mathbf{q}} + B\ddot{\mathbf{q}} + C\mathbf{q} = D \quad (2.2)$$

Здесь $\mathbf{q}(\tau) = \{q_1(\tau), q_2(\tau), \dots, q_n(\tau)\}$ — вектор-функция обобщенных координат, A, B, C — матрицы размерности $n \times n$, D — вектор правых частей, элементы которых при колебаниях в плоскости и из плоскости определяются выражениями

$$\begin{aligned} a_{jk} &= \int_0^1 (f_{1j} f_{1k} + f_{2j} f_{2k}) d\xi \quad (j, k = 1, 2, \dots, n) \\ b_{jk} &= \int_0^1 \left\{ \gamma (f_{1j} f_{1k} + f_{2j} f_{2k}) + \eta [f_{2j}^{IV} f_{2k} + \varphi (f_{1j}''' f_{2k} - f_{2j}''' f_{1k}) - \varphi^2 f_{1j}'' f_{1k}] + \right. \\ &\quad \left. + 2v\beta [1 + \mu\Phi(\tau)] (f_{2j}' f_{2k} + \varphi f_{1j} f_{2k}) \right\} d\xi \\ c_{jk} &= \int_0^1 \left\langle f_{2j}^{IV} f_{2k} + \varphi (f_{1j}''' f_{2k} - f_{2j}''' f_{1k}) - \varphi^2 f_{1j}'' f_{1k} + \right. \\ &\quad \left. + (f_{2j}'' f_{2k} + \varphi f_{1j}' f_{2k}) \{p_* + v^2 [1 + (1 - \xi)\xi] [1 + \mu\Phi(\tau)]^2 + (1 - \xi)v\beta\mu\Phi'(\tau)\} \right\rangle d\xi \end{aligned} \quad (2.3)$$

$$\begin{aligned} d_k &= \int_0^1 \left\langle \{p_* + v^2 [1 + (1 - \xi)\xi] [1 + \mu\Phi(\tau)]^2 + (1 - \xi)v\beta\mu\Phi'(\tau)\} \varphi f_{2k} - \right. \\ &\quad \left. - \xi v^2 [1 + \mu\Phi(\tau)]^2 f_{4k} \right\rangle d\xi, \quad a_{jk} = \int_0^1 f_{sj} f_{sk} d\xi, \quad d_k = 0 \\ b_{jk} &= \int_0^1 \left\{ \gamma f_{sj} f_{sk} + \eta [f_{sj}^{IV} f_{sk} - \varphi (f_{1j}'' f_{3k} + f_{3j}'' f_{4k}) + \varphi^2 f_{1j} f_{4k}] + \right. \\ &\quad \left. + 2v\beta [1 + \mu\Phi(\tau)] f_{sj}' f_{sk} \right\rangle d\xi \end{aligned} \quad (2.4)$$

$$\begin{aligned} c_{jk} &= \int_0^1 \left\langle f_{sj}^{IV} f_{sk} - \varphi (f_{1j}'' f_{3k} + f_{3j}'' f_{4k}) + \varphi^2 f_{1j} f_{4k} + \right. \\ &\quad \left. + (f_{3j}'' - \varphi f_{1j}) \{p_* - v^2 [1 + (1 - \xi)\xi] [1 + \mu\Phi(\tau)]^2 + (1 - \xi)v\beta\mu\Phi'(\tau)\} f_{3k} \right\rangle d\xi \end{aligned}$$

Вводя фазовое пространство с переменными $x_j = q_j$, $x_{j+n} = dq_j/d\tau$ ($j = 1, 2, \dots, n$), приведем системы (2.2) при $D = 0$ к нормальной форме Коши

$$\frac{d\mathbf{x}}{d\tau} = G\mathbf{x}, \quad G = \begin{vmatrix} 0 & E \\ -A^{-1}C & -A^{-1}B \end{vmatrix} \quad (2.5)$$

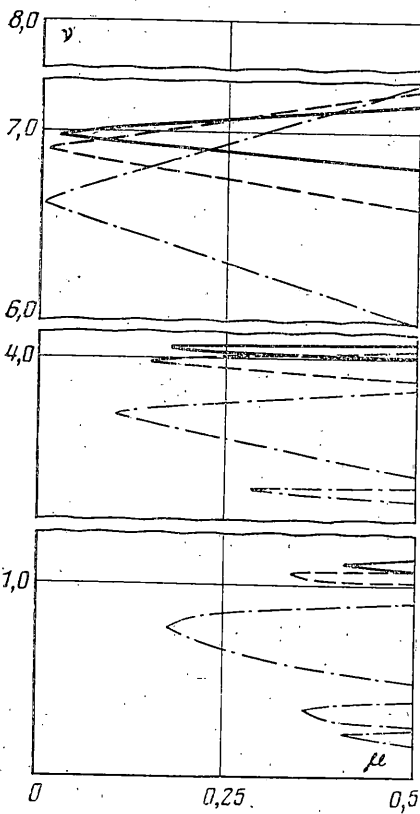
где G — действительная матрица размерности $2n \times 2n$.

Дальнейший анализ устойчивости нулевого решения системы (2.5) с периодическими или постоянными коэффициентами проводился численными методами, изложенными в [8].

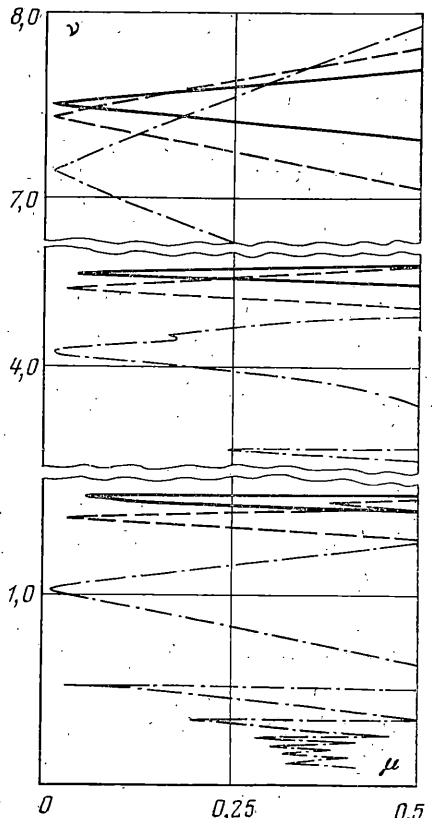
3. Численные исследования проводились для шарнирно-оперного трубопровода ($\xi = 0$ — шарнир неподвижен, $\xi = 1$ — допускается перемещение по касательной к оси трубопровода). При этом функции $f_{jk}(\xi)$ имеют вид

$$f_{1j}(\xi) = \varphi(1 - \cos j\pi\xi)/(j\pi), \quad f_{2j}(\xi) = \sin j\pi\xi \quad (3.1)$$

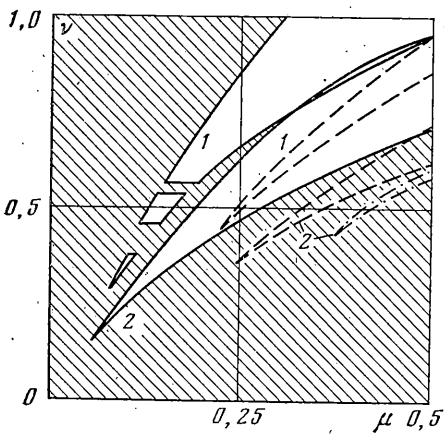
$$f_{3j}(\xi) = \sin j\pi\xi, \quad f_{4j}(\xi) = -\varphi \sin j\pi\xi$$



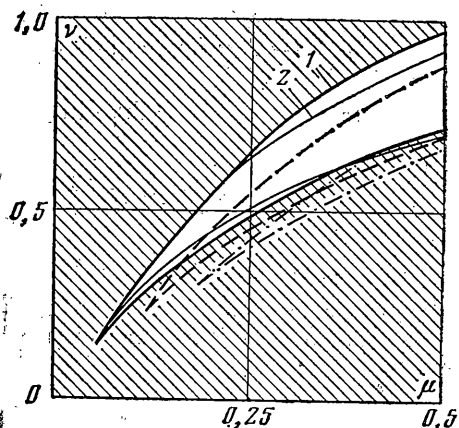
Фиг. 1



Фиг. 2



Фиг. 3



Фиг. 4

При вычислениях в разложении (2.1) удерживались первые два члена ряда, величина p_* принималась равной нулю, а $\Phi(\tau) = \cos v\tau$. Вычисления выполнялись для различных значений коэффициентов γ и η , характеризующих демпфирование в системе, скорости потока жидкости v , относений масс жидкости и трубопровода β , коэффициента ξ , характеризующего трение жидкости о стенки трубопровода и угла раствора трубы ϕ . Области неустойчивости строились на плоскости параметров (μ, v) при $\mu \in [0; 0,5]$.

Результаты анализа колебаний трубопровода при детерминистическом воздействии представлены на фиг. 1–5. Фиг. 1, 2 относятся к случаю докритических скоро-

стей ($v < v_*$), где, следуя [1], критическая скорость может быть приближенно оценена по формуле $v_* = \pi [1 - (\phi/\pi)^2]^{1/2}$ при $\phi \leq \pi/2$, для колебаний трубопровода в плоскости и из плоскости соответственно.

На фигурах сплошной линии соответствует значение параметра скорости $v = -0,5$, штриховой — $v = 1,0$ и штрихпунктирной — $v = 2,0$. Остальные параметры имеют значения $\beta = 0,4$, $v_* = 2,71$, $\zeta = 0,025$, $\gamma = 10^{-3}$, $\eta = 10^{-4}$, $\varphi = 90^\circ$. Клины, примыкающие к частотам $v = 2\omega_1$, $v = 2\omega_2$, соответствуют главным параметрическим резонансам, остальные клины — комбинационным резонансам суммарного типа $v = \omega_1 + \omega_2$, где ω_1 и ω_2 — собственные частоты системы.

С увеличением v области неустойчивости расширяются и смещаются вдоль оси частот, появляются дополнительные резонансы в рассматриваемой области изменения параметров μ и v . Так, например, главные параметрические резонансы при $v = 1,05$ и $v = 6,90$ для $v = 1,0$ смещаются соответственно к частотам $v = 0,75$ и $v = 6,61$ при $v = 2,0$ и появляются клины вблизи частот $v = -3,30$, $v = 0,37$ и $v = 0,22$, соответствующие побочным параметрическим резонансам второго и третьего порядка по отношению к частотам ω_1 и ω_2 . Некоторые аналогичные результаты были получены в [5-7] для прямой трубы.

При $v > v_*$ структура областей неустойчивости существенно изменяется. В этом случае система является динамически неустойчивой при отсутствии параметрического возмущения. Однако при определенных значениях скорости v поток жидкости оказывает стабилизирующую воздействие. Области стабилизации системы представлены на фиг. 3. Кривые 1 соответствуют колебаниям трубопровода из плоскости, а 2 — в плоскости. Области неустойчивости заштрихованы. Сплошные линии на фигуре соответствуют параметру скорости $v = 2,8$, штриховые — $v = 3,0$, штрихпунктирные — $v = 3,2$. При дальнейшем увеличении v области стабилизации уменьшаются и смещаются в сторону больших значений параметра возбуждения μ .

Увеличение коэффициентов демпфирования γ и η приводит к сглаживанию и расширению границ областей устойчивости системы. При этом, как и следовало ожидать, изменение коэффициента η существенное оказывается на поведении областей неустойчивости, чем γ . Области стабилизации практически не изменяются при варьировании коэффициентов демпфирования в пределах от 10^{-4} до 10^{-1} .

Как и для прямолинейного трубопровода [4], с ростом отношения масс жидкости и трубопровода β при скоростях меньше критических ($v < v_*$) области неустойчивости расширяются.

Увеличение коэффициента трения жидкости о стенки трубопровода ζ также приводит к расширению областей неустойчивости и смещению их в область низших частот. Результаты исследований влияния коэффициентов β и ζ на устойчивость трубопровода при сверхкритических скоростях потока жидкости представлены на фиг. 4 для $v = 2,8$. Сплошные линии соответствуют значениям параметров $\beta = 0,4$ (кривая 1) и $\beta = 0,2$ (кривая 2) при $\zeta = 0,025$, штриховая и штрихпунктирная линии — соответственно параметрам $\zeta = 0,1$ и $\zeta = 0,25$ при $\beta = 0,4$. Как следует из графиков, увеличение параметра ζ и уменьшение β приводят к уменьшению областей стабилизации.

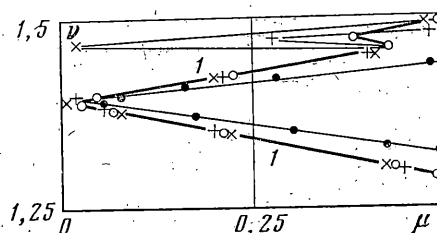
Исследование влияния угла раствора φ на области неустойчивости трубопровода при колебаниях в плоскости и из плоскости показывает, что с увеличением φ области неустойчивости сужаются и смещаются в сторону низших частот в связи с уменьшением собственных частот системы.

Из анализа полученных численных результатов следует, что в заданной области изменения параметров системы для приближенной оценки областей неустойчивости некоторыми параметрами можно пренебречь. На фиг. 5 показана главная область неустойчивости при колебаниях из плоскости для скоростей меньших критических и пренебрежении трением жидкости о стенки $\zeta = 0$ (светлые точки), малом отношении масс жидкости и трубопровода $\beta = 10^{-3}$ (тёмные точки), без учета демпфирования $\eta = 0$ (косые кресты), $\gamma = 0$ (прямые кресты). Жирная сплошная линия 1 соответствует $\beta = 0,4$, $\zeta = 0,025$, $\gamma = 10^{-3}$, $\eta = 10^{-4}$.

4. Рассмотрим колебания системы, описываемые линеаризованными матричными уравнениями (2.2), когда функция времени в (1.1) является стационарным случайным процессом со скрытой периодичностью и корреляционной функцией

$$K_\Phi(\tau) = \sigma_\Phi^2 e^{-\rho|\tau|} [\cos v_\rho \tau + (\rho/v_\rho) \sin v_\rho |\tau|] \quad (4.1)$$

где σ_Φ^2 — дисперсия процесса $\Phi(\tau)$, v_ρ — характерная частота возбуждения, ρ — параметр корреляции, а элементы матриц A , B , C определяются соотношениями (2.3) и (2.4) ($D = 0$).



Фиг. 5

Процесс $\Phi(\tau)$ можно получить, если стационарный гауссовский белый шум $\xi(\tau)$ с математическим ожиданием, равным нулю, пропустить через фильтр второго порядка

$$d^2\Phi(\tau)/d\tau^2 + 2\rho d\Phi(\tau)/d\tau + v^2\Phi(\tau) = \xi(\tau) \quad (4.2)$$

где $v^2 = v_p^2 + \rho^2$; интенсивность белого шума должна быть выбрана следующим образом: $S^0 = 4\rho v^2 \sigma_\Phi^2$.

Введем матрицы $K = -A^{-1}B$, $Q = -A^{-1}C$ и представим их в виде

$$\begin{aligned} K &= K^{(0)} + \mu\Phi(\tau)K^{(1)} \\ Q &= Q^{(0)} + \mu\Phi(\tau)Q^{(1)} + \mu\Phi^*(\tau)Q^{(2)} + \mu^2\Phi^2(\tau)Q^3 \end{aligned} \quad (4.3)$$

С учетом (4.3) и обозначений $x_j = q_j$, $x_{j+n} = q_j$, $x_{2n+1} = \Phi^*(\tau)$, $x_{2n+2} = \Phi(\tau)$ запишем уравнения (2.2) в виде системы стохастических дифференциальных уравнений Ито

$$\begin{aligned} dx_i &= \sum_{j=1}^n (k_{ij}^{(0)}x_j + q_{ij}^{(0)}x_{n+j} + k_{ij}^{(1)}\mu x_j x_{2n+2} + q_{ij}^{(1)}\mu x_{n+j} x_{2n+2} + \\ &+ q_{ij}^{(2)}\mu x_{n+j} x_{2n+1} + q_{ij}^{(3)}\mu^2 x_{n+j} x_{2n+2}) d\tau, \quad dx_{n+i} = x_i d\tau \\ dx_{2n+1} &= -(2\rho x_{2n+1} + v^2 x_{2n+2}) d\tau + dw, \quad dx_{2n+2} = x_{2n+1} d\tau \end{aligned} \quad (4.4)$$

где k_{ij} , q_{ij} — элементы матриц K и Q , $w(\tau)$ — одномерный винеровский процесс.

В пространстве параметров, характеризующих систему и случайное воздействие, требуется выделить области, в которых нулевое решение системы (4.4) устойчиво в некотором стохастическом смысле. Для анализа поведения системы применим метод моментных функций и исследуем устойчивость решения $x(\tau) = 0$ по отношению к моментным функциям порядка r [9]:

$$m_{jkl...}(\tau) = \langle x_j(\tau)x_k(\tau)x_l(\tau)\dots \rangle \quad (j, k, l, \dots = 1, 2, \dots, 6) \quad (4.5)$$

Уравнение Колмогорова для переходной плотности вероятности $p(x, \tau)$ диффузионного марковского процесса $x(\tau) = (x_1, \dots, x_j, x_{j+1}, \dots, x_{j+n}, x_{2n+1}, x_{2n+2})$ имеет вид:

$$\begin{aligned} \frac{\partial p}{\partial \tau} &= (2\rho - k_{11}^{(0)} - k_{11}^{(1)}\mu x_6 - k_{22}^{(0)} - k_{22}\mu x_6)p - \\ &- \frac{\partial p}{\partial x_1}(k_{11}^{(0)}x_1 + k_{12}^{(0)}x_2 + q_{11}^{(0)}x_3 + q_{12}^{(0)}x_4 + k_{11}^{(1)}\mu x_1 x_6 + k_{12}^{(1)}\mu x_2 x_6 + \\ &+ q_{11}^{(1)}\mu x_3 x_6 + q_{12}^{(1)}\mu x_4 x_6 + q_{11}^{(2)}\mu x_5 x_6 + q_{12}^{(2)}\mu x_4 x_5 + \\ &+ q_{11}^{(3)}\mu^2 x_3 x_6^2 + q_{12}^{(3)}\mu^2 x_4 x_6^2) - \frac{\partial p}{\partial x_2}(k_{21}^{(0)}x_1 + k_{22}^{(0)}x_2 + \\ &+ q_{21}^{(0)}x_3 + q_{22}^{(0)}x_4 + k_{21}^{(1)}\mu x_1 x_6 + k_{22}^{(1)}\mu x_2 x_6 + q_{21}^{(1)}\mu x_3 x_6 + \\ &+ q_{22}^{(1)}\mu x_4 x_6 + q_{21}^{(2)}\mu x_3 x_5 + q_{22}^{(2)}\mu x_4 x_5 + q_{21}^{(3)}\mu^2 x_3 x_6^2 + \\ &+ q_{22}^{(3)}\mu^2 x_4 x_6^2 - x_1 \frac{\partial p}{\partial x_3} - x_2 \frac{\partial p}{\partial x_4} - x_5 \frac{\partial p}{\partial x_6} + \frac{1}{2}s^2 \frac{\partial^2 p}{\partial x_6^2}) \end{aligned} \quad (4.6)$$

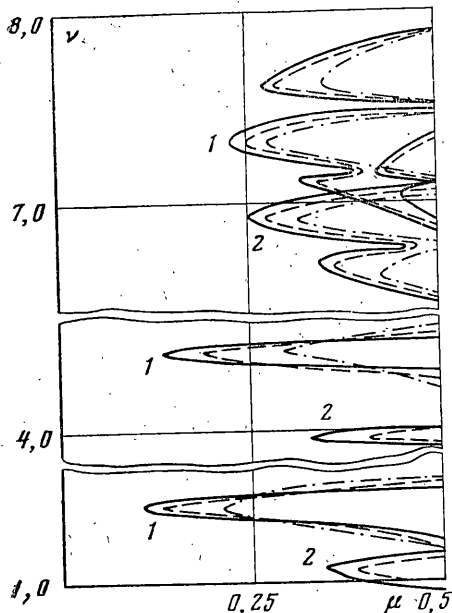
Структура уравнений (4.6) такова, что относительно моментных функций получим бесконечную нелинейную систему уравнений. После применения гипотезы квазигауссости для замыкания системы и линеаризации приходим к дифференциальным уравнениям первого порядка с постоян-

ными коэффициентами

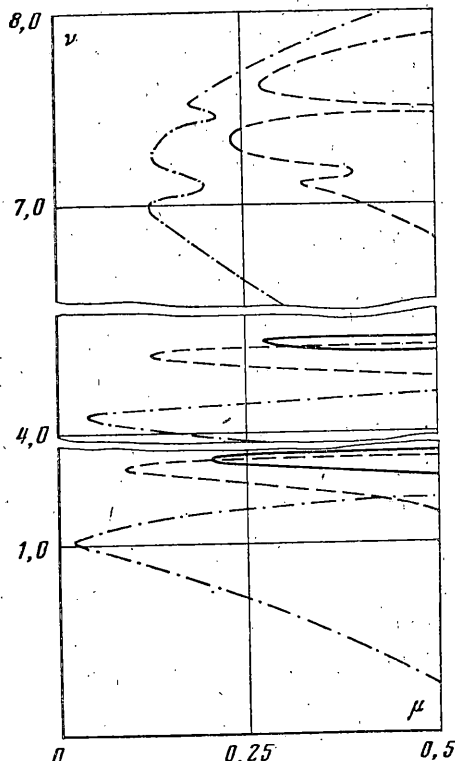
$$dm/d\tau = Mm, \quad m = \{m_1, m_2, \dots, m_4, m_{11}, m_{12}, \dots, m_{46}\} \quad (4.7)$$

где M — матрица размерности 22×22 . Дальнейший анализ устойчивости сводится к решению стандартной проблемы Рууса — Гурвица для системы (4.7).

На фиг. 6 показано влияние параметра широкополосности случайного воздействия $\Phi(\tau)$ на границы областей неустойчивости. Сплошной линии соответствует $\rho = -0,02$, штриховой — $\rho = 0,1$, штрихпунктирной — $\rho = 0,5$. При вычислении принято



Фиг. 6



Фиг. 7

$\sigma_\phi^2 = 1$, остальные значения параметров системы, соответствуют детерминистической постановке задачи и равны $\beta = 0,4$, $v = 1,0$, $\zeta = 0,025$, $\gamma = 10^{-3}$, $\eta = 10^{-4}$, $\varphi = 90^\circ$. Кривые 1 соответствуют колебаниям из плоскости, а кривые 2 — в плоскости.

С увеличением ρ границы областей неустойчивости смещаются в сторону больших значений параметра возбуждения μ и наблюдается слаживание избирательного характера стохастической неустойчивости. Аналогичные результаты получены при увеличении коэффициентов η и γ , а также уменьшении отношения масс жидкости и трубопровода β .

На фиг. 7 представлены области неустойчивости для различных значений параметра v скорости потока при рассмотрении колебаний из плоскости трубопровода. Сплошная линия соответствует $v = 0,5$, штриховая $v = 1,0$ и штрихпунктирная $v = 2,0$. Параметр широкополосности ρ принимался равным 0,02. Как и в случае детерминистического воздействия, увеличение скорости потока вызывает расширение областей неустойчивости и смещение резонансных клиньев в сторону низших частот. Поведение областей неустойчивости при изменении угла раствора φ аналогично случаю $\Phi(\tau) = \cos \nu t$.

ЛИТЕРАТУРА

1. Болотин В. В. Динамическая устойчивость упругих систем. М.: Гостехиздат, 1956. 600 с.
2. Светлицкий В. А. Малые колебания пространственно-криволинейных трубопроводов.— Прикл. механика, 1978, т. 14, № 8, с. 70–78.
3. Доценко П. Д. Об уравнениях малых колебаний криволинейного трубопровода.— Изв. АН СССР. МТТ, 1974, № 5, с. 104–112.
4. Singh K., Mallik A. K. Parametric instabilities of a periodically supported pipe conveying fluid.— J. Sound and Vibration, 1979, v. 62, No. 3, p. 379–397.
5. Bohn M. P., Herrmann G. The dynamic behavior of articulated pipes conveying fluid with periodic flow rate.— Trans. ASME. Ser. E. J. Appl. Mech., 1974, v. 41, No. 1, p. 55–62.
6. Paidoussis M. P., Issid N. T., Tsui M. Parametric resonance oscillations of flexible slender cylinders in harmonically perturbed axial flow.— Trans. ASME Ser. E. J. Appl. Mech., 1980, v. 47, No. 4, p. 709–714.
7. Paidoussis M. P., Sundararajan C. Parametric and combination resonances of a pipe conveying pulsating fluid.— Trans. ASME. Ser. E. J. Appl. Mech., 1975, v. 42, No. 4, p. 780–784.
8. Болотин В. В. Численный анализ устойчивости линейных дифференциальных уравнений с периодическими коэффициентами.— В кн.: Избранные проблемы прикладной механики. М.: ВИНИТИ, 1974, с. 155–166.
9. Болотин В. В. Случайные колебания упругих систем. М.: Наука, 1979. 335 с.

Москва, Циттау (ГДР)

Поступила в редакцию
25.VI.1982